

مطالعه‌ی آزمایشگاهی طرح ترمیم یک طرفه‌ی دیوارهای مصالح بنایی

صدمه دیده در زلزله

حمیدرضا فرشچی (کارشناس ارشد)

عبدالرضا سروقدمدم (استادیار)

پژوهشکده سازه، پژوهشگاه بین‌المللی زلزله‌شناسی و مهندسی زلزله

ساختمان‌های آجری غیر مسلح از متدالوئین و قدیمی‌ترین نوع ساختمان در ایران هستند. در این سازه‌ها از دیوار به عنوان اعضاء باربر نقلی و جانبی زلزله استفاده می‌شود. از آنجاکه در ساخت این دیوارها از مصالح شکننده استفاده می‌شود، ماهیت این ساختمان‌ها غیر شکل‌پذیر است و هنگامی که نیروی واردۀ از حد مقاومت عضو بیشتر شود آن عضو از باربری خارج می‌شود. این رفتار کلیه‌ی دیوارهای مصالح بنایی را که تحت اثر بار جانبی قرار گیرند شامل می‌شود.

با وقوع یک زلزله آسیب‌های زیادی به انواع سازه‌ها وارد می‌شود. این آسیب‌ها را می‌توان به دو گروه تقسیم کرد. ۱. اعضاء با تغییر شکل ماندگار؛ ۲. اعضاء ترک خورده. برای کاربرد مجدد قسمت‌های آسیب‌دیده، بازسازی اصولی‌ترین روش است. می‌توان اعضاء ترک خورده را با روش‌های متفاوتی ترمیم کرد تا مقاومت از دست رفتۀ خود را به دست آورند. این موضوع از دو جنبه حائز اهمیت است: اولاً تعداد اعضاء ترک خورده بعد از زمین لرزه بسیار زیادند، لذا تخریب و بازسازی آنها نیاز به صرف هزینه و زمان بسیار دارد؛ ثانیاً به علت از دست رفتۀ مقاومت جانی ناشی از ترک خوردنگی المان‌های باربر، سازه در مقابل زمین لرزه‌ی آتی بسیار آسیب‌پذیر خواهد شد. در این تحقیق طرحی برای ترمیم یک طرفه‌ی دیوارهای مصالح بنایی آسیب دیده ارائه شده و رفتار آزمایشگاهی دیوار سالم و دیوار صدمه دیده مرمٹ شده، با مقیاس ۵/۰٪ تحت بارگذاری چرخه‌یی بررسی می‌شود. نتایج نشان می‌دهند که این طرح باعث بازگشت درصد عمدۀ‌یی از مشخصات از دست رفتۀ دیوار آسیب دیده شده است.

از مقاومت خود را از دست داده‌اند. لذا نمی‌توانند در آینده در مقابله با زلزله‌یی مشابه مقاومت کنند. بنابراین گزینه‌های مختلفی برای افزایش مقاومت آنها وجود دارد، از جمله می‌توان به بازسازی، ترمیم، اضافه‌کردن اعضاء جدید و غیره اشاره کرد روش‌های ترمیم مختلفی ارائه شده است [۶-۲]، که با توجیه فنی و اقتصادی می‌توان از آنها استفاده کرد. ترمیم و بهسازی اعضاء صدمه دیده یکی از کاربردی‌ترین روش‌ها است که انجام آن در سطح وسیع مقرر بصره است ولی از آنجاکه کمتر درباره‌ی جزیيات آن تحقیق و آزمایش شده، جایگاه خود را در بازسازی ساختمان‌ها بعد از زلزله به دست نیاورده است. زلزله‌ی مورخ ۱۳۸۲/۱۱/۵ به، به علت وسعت آسیب دیدگی ساختمان‌های آجری زمینه‌ساز انجام این تحقیق شد. در این تحقیق یک روش طرح ترمیم یک طرفه‌ی دیوارهای مصالح بنایی صدمه دیده در زلزله به صورت آزمایشگاهی با مقیاس ۵/۰٪ تحت اثر بارگذاری جانبی چرخه‌یی مطالعه شده است.

نحوه و فرضیات ساخت و نصب مدل
در هر کار آزمایشگاهی لازم است قبل از شروع کار و محاسبات به محدودیت‌های موجود در زمینه‌های مختلف، از جمله امکانات آزمایشگاه،

مقدمه
ساختمان‌های آجری در معماری ایرانی از اهمیت خاصی برخوردارند. این ساختمان‌ها به علت بومی بودن مصالح و روش‌های ابتدایی ساخت طی نیم قرن اخیر به سرعت گسترش یافته‌اند، به طوری که هم اکنون در صد عمدۀ‌یی از ساختمان‌های موجود یا در حال ساخت، از این گروه‌اند. در ساخت این ساختمان‌ها از مصالح ترد استفاده می‌شود، لذا ماهیت این ساختمان‌ها شکل‌پذیر است. بر همین اساس، در استاندارد ۲۸۰۰ [۱] برای این ساختمان‌ها ضریب رفتار مشخص نشده است و در صورت استفاده از دیوارهای آجری مسلح ضریب رفتار ۴ پیشنهاد شده است. در این ساختمان‌ها از دیوار به عنوان عضو باربر نقلی و جانبی زلزله استفاده می‌شود. در ساختمان‌های غیر مسلح اگر نیروی واردۀ از مقاومت دیوار بیشتر باشد، آن عضو از باربری خارج می‌شود؛ لذا در صورت وقوع زلزله‌ی قوی آسیب‌پذیری این سازه‌ها بسیار زیاد است و به علت گستردگی، این نوع سازه‌ها خسارت جانی و مالی زیادی بر جا می‌گذارند. پس از وقوع زلزله، ساختمان‌های مصالح بنایی غیر مسلح آسیب‌دیده را می‌توان به دو گروه تقسیم کرد: ۱. ساختمان‌هایی که تغییر شکل ماندگار داده‌اند و می‌باشند بازسازی شوند؛ ۲. ساختمان‌هایی که ترک خورده‌اند و از حالت رفتار ارجاعی خارج شده‌اند و درصدی

۲. آزمایشات

۱. آزمایش قاب فولادی به همراه میان قاب ۱.۱. جزئیات دیوار

در این آزمایش قاب فولادی به همراه میان قاب بررسی شد. بعد از نصب کرنش سنج‌ها می‌بایست دیوار مصالح بنایی داخل قاب چیده شود. از آنجا که عرض بال ستون ۱۲ سانتی‌متر و عرض آجرها ۱۱ سانتی‌متر است، لذا برای تأمین ضخامت رویه‌ی گچ می‌بایست عرض ستون را به اندازه‌ی ۳ سانتی‌متر افزایش می‌داد تا داخل آن گچ‌کاری انجام شود. در طرف دیگر دیوار یک لایه‌ی سیمان‌کاری به ضخامت ۱ سانتی‌متر انجام شد. برای اضافه کردن عرض ستون از تسممه‌ی ۵ سانتی‌متر به ضخامت ۳ میلی‌متر استفاده شد که روی لبه‌ی تیر و ستون در یک طرف قرار گرفت و از داخل جوش‌های منقطع به فواصل ۱۰ سانتی‌متر انجام شد.

از آجرهای فشاری و ملات ماسه و سیمان به صورت رایج برای دیوار چینی استفاده شد. ضخامت ملات‌ها حدود ۲ سانتی‌متر بود و دیوار با اصول کامل آجرچینی که شامل آبرزدن آجرها قبل از مصرف و رعایت موقعیت بندهای قائم در دیوار و ترازو بودن رج‌ها و غیره اجرا شد. در رج آخر از آجرهای مورب که با فشار و به همراه ملات چیده شده‌اند استفاده شده است.

بعد از اتمام مراحل سفت‌کاری می‌بایست دو طرف دیوار انود رویه شود. بنابراین در یک طرف همان‌ظور که گفته شده به ضخامت ۱ سانتی‌متر سیمان‌کاری، و در طرف دیگر به ضخامت حدود ۳ سانتی‌متر گچ‌کاری انجام گرفت. سپس مدت ۱۵ روز این دیوار مربوط شد و درنهایت طرف سیمان‌کاری شده آب آهک زده شد تا مسیر ترک خوردگی روی سطح سیمان‌کاری در هنگام آزمایش مشخص شود.

۲. روش آزمایش

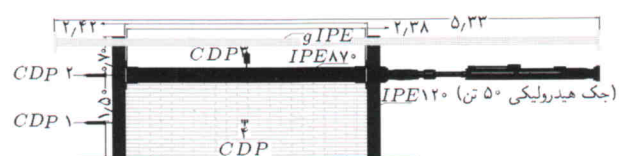
پس از آماده کردن و کنترل تجهیزات ثبت مقادیر، بارگذاری روی نمونه شروع شد. از آنجا که بین دیوار و قاب خلاصی و لقی وجود نداشت میزان بار سریعاً افزایش یافت. در گام اول با تغییر مکان ۴۰° سانتی‌متر نیروی ۱۲ تن اعمال شد که در گام‌های بعدی این نیرو به ۲۲ و ۲۶ تن رسید و ثابت ماند. بعد از شکست دیوار در تغییر مکان ۲۸ میلی‌متر دستور توقف آزمایش داده شد. اما برای بررسی بیشتر در مورد اثر تخریب، بارگذاری بعد از وقفه‌ی اندک آغاز شد و درنهایت تغییر مکان ۴۴ میلی‌متر به سازه اعمال شد. روند ایجاد ترک ابتدا در گوشش‌ها متوجه بود و سپس به وسط و قطعه‌گشترش یافت. نمایی از ایجاد ترک در شکل ۳ آمده است. به علت تغییر شکل زیاد در این آزمایش اتصالات مجددآ خسارت دید و برخی از جوش‌ها شکست، اما در حین آزمایش نقصی به وجود نیامد.

مصالح، زمان و غیره، توجه خاصی شود تا با برنامه‌ریزی و پیش‌بینی‌های لازم هنگام اجرا مشکلات کمتر و اجرای دقیق و سریع‌تری داشته باشیم. در این مطالعه، سعی شد تا قبل از انجام آزمایشات، محدودیت‌های اجرایی آن بررسی، و مدل‌سازی براساس این محدودیت‌ها انجام شود. با توجه به بررسی محدودیت‌ها و شناخت آنها، یک قاب دو بعدی فولادی با اتصالات مفصلی با مقیاس ۵/۰ مدل‌سازی شد، که در آن از مقاطع IPB ۱۲۰ برای ستون‌ها، و از مقطع IPE ۲۷۰ برای تیر، و از مقاطع ۲IPE ۱۴۰ برای سازه‌ی نگهدارنده خارج از صفحه استفاده شده است. با قرارگیری آنکه ستون و تیر در یک راستا میان قاب موردنظر به صورت دیوار ۱۰ سانتی‌متری در داخل قاب اجرا شد و اتصالات نیز که می‌بایست مفصلی اجرا می‌شدند با دو نیشی در بالا و پایین تیر و جوشکاری جان ستون به پلیت کف اجرا شدند. مدل‌سازی دیوار یکی دیگر از مسائل مهم در این آزمایشات بود. براساس استاندارد ۲۸۰° [۱] دیوار سازه‌ی می‌بایست حداقل ۲۰ سانتی‌متر ضخامت داشته باشد، ولی در این قاب به علت مقیاس ۵/۰ ضخامت دیوار به ۱۰ سانتی‌متر محدود شد. سپس عمل آوری دیوار از طریق مربوط نگهدارنده انجام شد. نمایی از نمونه‌ی مورد آزمایش، در قاب عکس‌العمل در شکل ۱ ملاحظه می‌شود.

محلهای مورد نیاز اندازه‌گیری و مشخصات ابعادی که در هر دو آزمایش ثابت‌اند در شکل ۲ نشان داده شده است در مجموع از ۴ عدد تعییر مکان سنج مدل CDP استفاده شده است. تاریخچه‌ی بارگذاری با سرعت بارگذاری ۴mm/s، با گام‌های ۴mm، ۸mm، ۱۲mm، ۲۰mm، ۲۸mm، ۳۶mm، ۴۴mm... و تکرار دوبار در هر گام که توسط جک هیدرولیکی به صورت رفت و برگشتی اعمال شد.

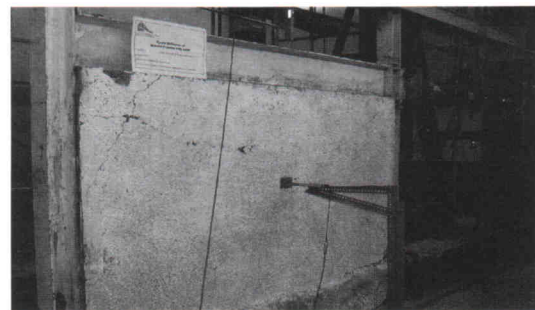


شکل ۱. نمای کلی قاب عکس‌العمل و نمونه‌ی مورد آزمایش.

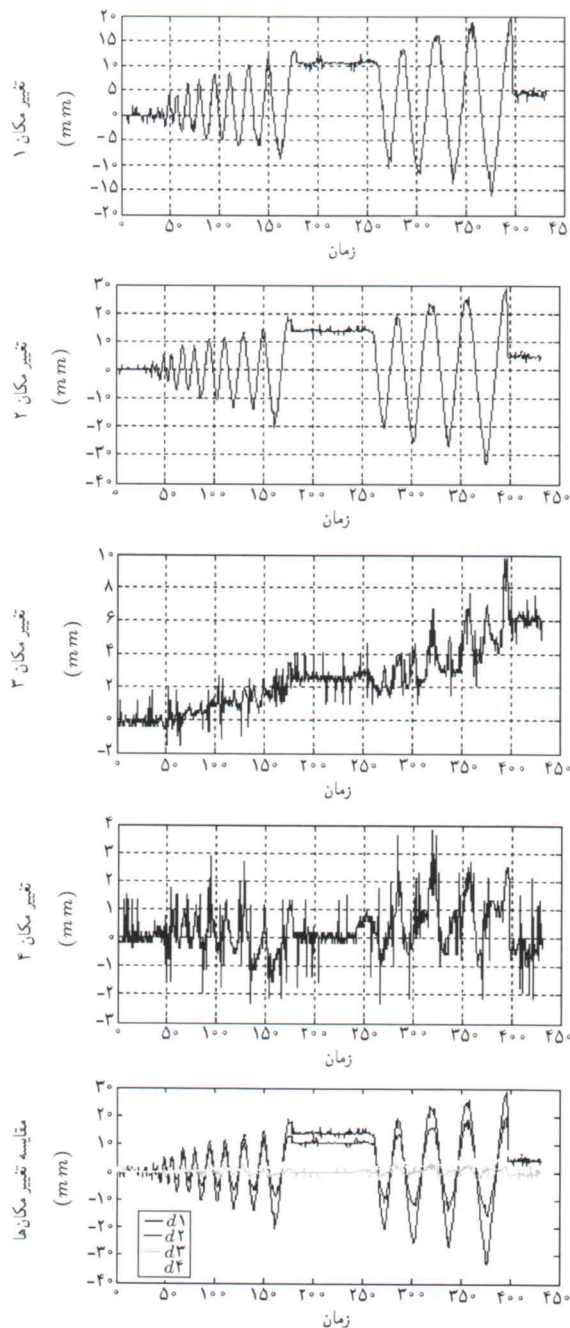


شکل ۲. نمایی از موقعیت اندازه‌گیریها و ابعاد نمونه.

و از طرف دیوار به تیر وارد شده است. مجموع منحنی‌های تغییر مکان روی یک نمودار نیز ارائه شده است. ترکخوردگی نمونه‌ی مورد آزمایش به صورت همزمان در گوشها و اقطار دیوار رخ داد، اما در انتهای بارگذاری بیشتر ترک‌ها و شکستگی در گوشها اتفاق افتاد. همچنین تغییر شکل ماندگار در قاب و شکستگی جوش اتصالات مشاهده شد. نمایی از نمونه‌ی مورد آزمایش در شکل ۶ ملاحظه می‌شود.



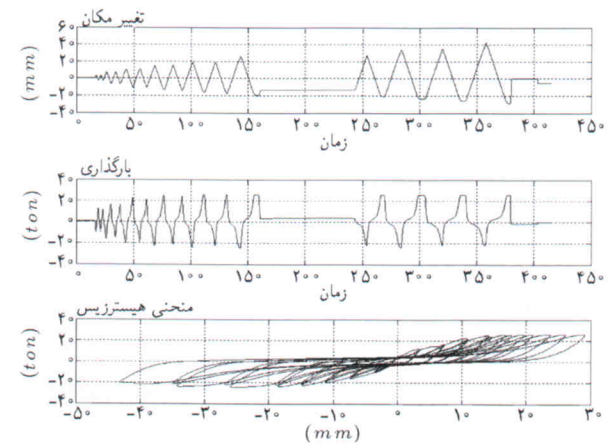
شکل ۳. نمایی از روند ترکخوردگی.



شکل ۵. منحنی‌های مربوط به تغییر مکان سنج‌ها.

۳.۱.۲. تفسیر نتایج

خروجی‌های دریافتی از تجهیزات اندازه‌گیری مورد بررسی قرار گرفت و تبدیل به منحنی شد (شکل ۴) و مقادیر جابه‌جایی و بارگذاری جک در منحنی‌های جداگانه ترسیم شد. سپس مقادیر تغییر مکان - بار با یکدیگر ترکیب و منحنی هیسترزیس ترسیم شد. سرعت بارگذاری 350 mm/s و حداکثر تغییر مکان 44 میلی‌متر در مدت زمان 3 s باشد. نیرو بعد از افزایش تا 26 تن تقریباً ثابت ماند. به علت وقفه‌یی که در انتهای بارفشاری به قاب صورت گرفته این نمودار بریدگی‌هایی در نوک دارد و حرکت دیوار و قاب در جهت افقی باعث تغییر شکل منحنی‌های بارگذاری شده است. یکی دیگر از اطلاعات ثبت شده مربوط به تغییر مکان سنج‌های نصب شده است که منحنی‌ها و ترکیب آنها در شکل ۵ نشان داده شده است. همان‌طور که ملاحظه می‌شود حداکثر تغییر مکان مربوط به CDP-۲ 34 میلی‌متر است؛ البته CDP-۱ نیز تغییر شکل مشابه CDP-۲ با حداکثر جابه‌جایی 20 میلی‌متر را ثبت کرده است و کمترین تغییر مکان مربوط به CDP-۴ است که مربوط به تغییر مکان خارج از صفحه و برابر $-4\text{--}3\text{ میلی‌متر}$ در هر طرف است و CDP-۳ که تغییر مکان تیر را نشان می‌دهد حداکثر 10 میلی‌متر تغییر مکان داشته است که نشان می‌دهد نیروی فشاری رو به بالا

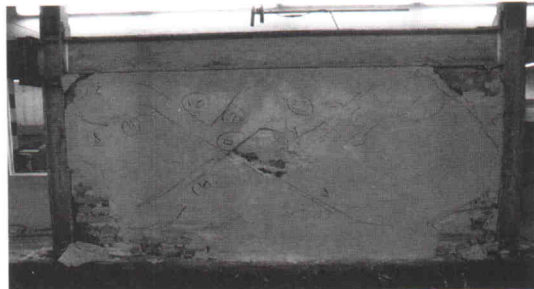


شکل ۴. منحنی اطلاعات خروجی جک.

جدول ۱. نتایج به دست آمده از اطلاعات خروجی جک.

آزمایش	حلقه	شیب بارگذاری درجه	شیب باربرداری درجه	شیب کل حلقه درجه	انرژی جذب شده ژول (N/m^2)	بارگذاری فشاری (تن)	بارگذاری فشاری (تن)	کششی فشاری (میلی متر)	تغییرمکان کششی (میلی متر)
آزمایش	۱	۸۸,۴۱	۸۷,۲۶	۸۸,۰۷	۳۱۰۰	۱۲,۱۴	۱۰,۵	۲,۴	۳,۵۱
قابل	۲	۸۷,۲۳	۸۷,۰۹	۸۷,۰۸	۲۶۳۰	۱۱,۲۵	۱۰,۲	۳,۴۵	۳,۵
فولادی	۳	۸۶,۷۷	۸۶,۷۷	۸۷,۱۱	۱۰۶۲۰	۱۶,۳۵	۱۶,۵	۷,۲۶	۷,۳۵
به همراه	۴	۸۴,۸۲	۸۴,۸۲	۸۶,۰۴	۸۶۲۰	۱۵,۸۵	۱۵,۴	۷,۳	۷,۴
میان قاب	۵	۸۵,۳۲	۸۵,۳۲	۸۶,۳۵	۱۷۷۰۰	۲۲,۴۵	۲۰,۴۲	۱۰,۷	۱۱,۱
مصالح	۶	۸۳,۹۵	۸۳,۹۵	۸۵,۶	۱۴۲۰۰	۲۱,۱	۱۹,۱۳	۱۱,۰۵	۱۱,۲۵
بنایی	۷	۸۴,۶۱	۸۴,۶۱	۸۵,۵۸	۲۴۰۰۰	۲۴,۷	۲۳	۱۴,۲	۱۴,۷۵
	۸	۸۲,۶۷	۸۲,۶۷	۸۴,۶۸	۲۰۴۳۰	۲۴	۲۱	۱۴,۵۶	۱۵
	۹	۸۲,۹۷	۸۲,۹۷	۸۳,۶۷	۲۹۰۰۰	۲۵,۷۵	۲۴,۱	۱۶,۷	۱۸,۴۵
	۱۰	۸۱,۰۳	۸۱,۰۳	۸۲,۷۵	۲۶۰۰۰	۲۵,۵	۲۲,۳	۱۷,۶	۱۹
	۱۱	۸۱,۰۷	۸۱,۰۷	۷۹,۸۷	۴۴۰۰۰	۲۵,۹	۲۴,۹	۱۹,۷	۲۵,۵
	۱۲	۷۷,۸۱	۷۷,۸۱	۸۲,۱	۳۶۵۰۰	۲۵,۸	۲۲,۵	۲۱	۲۶,۸
	۱۳	۷۷,۸	۷۷,۸	۸۱,۴۷	۵۴۳۰۰	۲۵,۸	۲۴,۴	۲۳,۴	۳۳,۹
	۱۴	۷۳,۱۸	۷۳,۱۸	۷۹,۶	۴۵۷۰۰	۲۱,۶	۲۱,۶	۲۶,۱۳	۳۴,۹
	۱۵	۷۲	۷۲	-	۶۸۰۰۰	۲۵,۷۵	۲۲	۲۹,۱۲	۴۳
	نهایی	-	-	-	۴۰۷۰۰۰	-	-	-	-

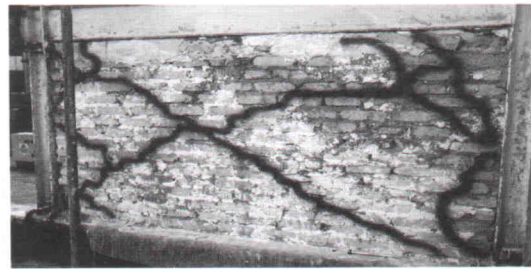
به دیوار انجام گرفت و سپس مسیر ترک خوردگی با رنگ مشخص شد. نمایی از مسیر ترک‌ها در دو طرف دیوار در شکل ۷ ملاحظه می‌شود. انود گچ روی دیوار به ضخامت ۳ سانتی‌متر می‌باشد به خوبی تراشیده و تمیز شود زیرا اجرای طرح بهسازی در این سطح انجام خواهد شد. وجود هر نوع گچ یا خاک و لقی مصالح روی این سطح باعث عدم چسبندگی مصالح تقویت سیمانی روی آن می‌شود. بعد از آماده شدن



شکل ۶. نمایی از موقعيت ترک‌ها بعد از آزمایش.



(الف)



(ب)

شکل ۷. نمایی از مسیر ترک‌ها در دو طرف دیوار.

یکی از مهمترین پارامترهای مورد مطالعه، منحنی‌های هیسترزیس است، لذا در جدول ۱ خصوصیات هیسترزیس و نتایج حاصل از بررسی آنها مقایسه شده است. در این جدول اطلاعاتی از قبیل شیب حلقة‌ها هنگام بارگذاری و باربرداری، مقدار بارگذاری فشاری و کششی، انرژی جذب شده توسط هر حلقة، حداکثر نیروی اعمالی و تغییر مکان در هر حلقة، و در نهایت انرژی کل جذب شده ارائه شده است.

۲.۲. آزمایش طرح بهسازی دیوار مصالح بنایی به صورت یک‌طرفه

۱.۱.۲. جزئیات دیوار

با استفاده از دیوار ترک خورده در آزمایش قبلی اجرای طرح بهسازی با فرض دسترسی به سطح دیوار از یک طرف، و با تراشیدن نازک‌کاری دیوار در دو طرف آغاز شد. این کار با نهایت دقیق، و با کمترین آسیب



شکل ۹. نمایی از اجرای لایه‌ی اول سیمان‌کاری.

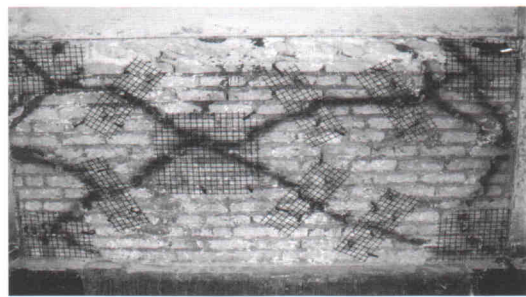


شکل ۱۰. نمایی از طرز تهیه ملات.

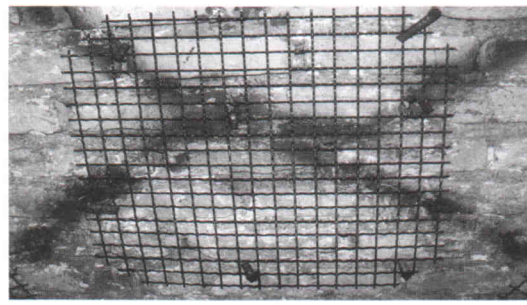
دیوار فوق مرطوب شد. سپس برای مشخص شدن موقعیت ترک‌ها در هنگام آزمایش، دو طرف دیوار آب آهک زده شد و پس از خشک شدن موقعیت شبکه‌های فلزی روی دیوار ترسیم شد.

۲.۱.۲ روش آزمایش

پس از انجام کنترل‌های مجدد و آماده‌بودن تجهیزات ثبت مقادیر، بارگذاری روی نمونه، همانند آزمایش قبل شروع شد. با افزایش بارگذاری ابتدا ترک‌هایی در گوشه‌های پایین دیوار اتصال ۳ و ۴، و سپس در



(الف)

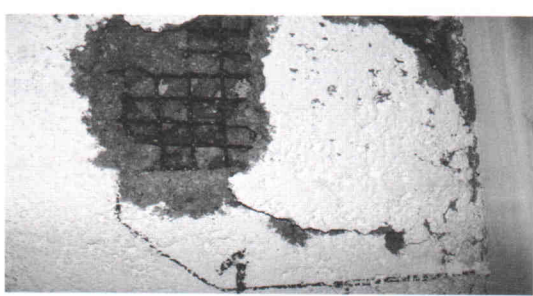


(ب)

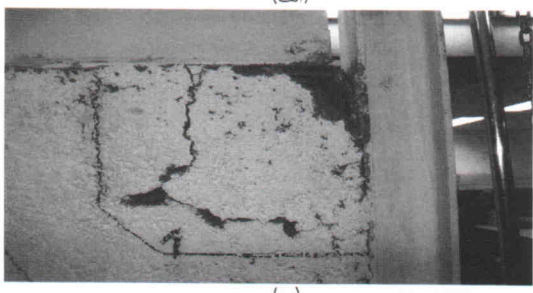
شکل ۸. نمایی از موقعیت نصب شبکه‌ی فلزی.

سطح دیوار شبکه‌ی فلزی به قطر ۴ میلی‌متر با ابعاد 50×50 سانتی‌متر برای وسط دیوار به تعداد یک عدد و 40×40 سانتی‌متر برای گوشه‌های دیوار به تعداد چهار عدد، و 20×40 سانتی‌متر برای مسیر ترک‌ها به تعداد شش عدد آماده شد. سپس با تقسیم فواصل مسیر ترک‌ها، قطعات شبکه در جای خود نصب شد.

این شبکه‌ها توسط میخ سرکج به طول ۱۰ الی ۱۲ سانتی‌متر و قطر ۸ الی ۱۲ میلی‌متر در فواصل حداقل ۲۰ سانتی‌متر به دیوار متصل شد موقعیت نصب شبکه‌ی فلزی در شکل ۸ ملاحظه می‌شود. شبکه‌ی فلزی با فاصله‌ی حدود ۲ سانتی‌متر از دیوار توسط میخ‌های سرکج به صورت مورب در بند عمودی بین دو آجر کوبیده شد. بعد از نصب تمام شبکه‌های فلزی در جای خود می‌باشد پوشش بتنی به ضخامت ۳ سانتی‌متر انجام می‌دادیم. برای این منظور به جای شاتکریت از روش ساده‌ی سیمان‌کاری با دست استفاده شد. برای افزایش کارایی این روش می‌باشد در چند لایه سیمان‌کاری انجام گیرد که مهم‌ترین لایه پوشش اولیه است. لازم است با استفاده از ملات روان همراه با ضربات کوبنده‌ی ملات، مصالح ریز دانه‌ی ملات به داخل خلل و فرج دیوار وارد شود (شکل ۹). ضمناً از ریزش مصالح این لایه در لایه‌های بعدی استفاده شد. ملات مصرفی از ترکیب گروت ۲۱۸- سیمان - ماسه به نسبت $1 - 6 - 5 / 0$ همراه با آب تهیه شد و از گروت ۲۱۸ برای روان سازی ملات و افزایش مقاومت استفاده شد (شکل ۱۰)، به طوریکه روان‌کننده‌ی موجود در گروت با کمترین آب، ملات روانی به وجود آورد. بعد از اتمام سیمان‌کاری روی شبکه‌ها، طرف دیگر دیوار نیز به ضخامت ۱ سانتی‌متر سیمان‌کاری، و حدود ۲۰ روز



(الف)



(ب)

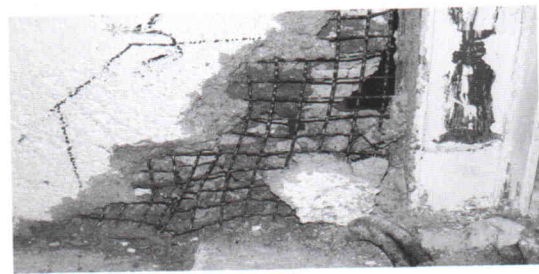
شکل ۱۱. نمایی از اتصال ۱ حین آزمایش.

است و ترک قطری ایجاد شده در مسیر ترک قبلی نیست (شکل ۱۵).

۳.۱.۲. تفسیر نتایج

خروجی‌های دریافتی از تجهیزات اندازه‌گیری مورد بررسی قرار گرفت (شکل ۱۶) و تبدیل به منحنی شد؛ مقادیر جابه‌جایی و بارگذاری جک در منحنی‌های جداگانه ترسیم شده است. سپس مقادیر تغییر مکان - بار با یکدیگر ترکیب و منحنی هیسترزیس ترسیم شد. سرعت بارگذاری 4mm/s و حداکثر تغییر مکان $52\text{ میلیمتر در مدت زمان }470\text{ ثانیه}$ به ثبت رسیده است. حداکثر نیروی فشاری برابر $28\text{ تن در چرخه‌ی }11$ و حداکثر نیروکششی برابر $18/8\text{ تن در چرخه‌ی }5$ به وجود آمده است. تأثیر شکست نبیشی در اتصال ۱ و کمانش ستون در اتصال ۳ و اثر آن در جابه‌جایی دیوار را می‌توان در منحنی‌های به دست آمده مشاهده کرد.

همان‌طور که ملاحظه می‌شود، حداکثر تغییر مکان مربوط به CDP-۲ با $23\text{ میلیمتر در فشار است. البته CDP-۱ نیز تغییر$



(الف)

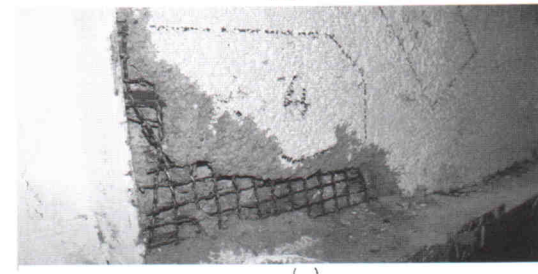


(ب)

شکل ۱۲. نمایی از اتصال ۳ حین آزمایش.



(الف)



(ب)

شکل ۱۳. نمایی از اتصال ۴ حین آزمایش.

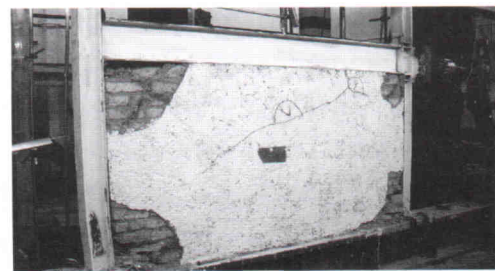
گوشه‌ی بالا اتصال ۱ پدیدار شد و سپس گسترش یافت تا اینکه در چرخه‌ی ششم بارگذاری، نبیشی پایین اتصال ۱ دچار شکستگی شد. در شکل ۱۱ اتصال ۱ در حالت متفاوت نشان داده شده است. همچنین اتصال ۳ دچار تخریب زیادی شد و باعث کمانش ستون در آن قسمت شد. در شکل ۱۲ حالت متفاوت این اتصال ملاحظه می‌شود. اتصال ۴ نیز همچنانکه در شکل ۱۳ ملاحظه می‌شود تخریب شده است. با اعمال تغییر مکان مبنای آزمایش پایان یافت. در این زمان دیوار در طرف بهسازی شده فقط در سه گوشه ترک خورده‌ی داشت و ترک به صورت قطری، یا در مسیر ترک‌های قبلی مطابق شکل ۱۴ دیده نمی‌شود. در طرف دیگر دیوار ملاحظه می‌شود که ترک در گوشه‌ها متتمرکز



شکل ۱۴. نمایی از دیوار بهسازی شده بعد از آزمایش.



(الف)



(ب)

شکل ۱۵. نمایی از موقعیت ترک پشت دیوار، قبل و بعد از طرح بهسازی.

شکل مشابه ۲-CDP با حداکثر جابه‌جایی ۲۰ میلی‌متر را ثبت کرده است و کمترین تغییر مکان مربوط به CDP-۴ است که مربوط به تغییر مکان خارج از صفحه برابر ۱ میلی‌متر جابه‌جایی ماندگار دارد. ملاحظه می‌شود که دیوار حدود ۱ میلی‌متر جابه‌جایی ماندگار دارد. نیروی فشاری رو به بالا از طرف دیوار به تیر وارد شده است که توسط CDP-۳ ثبت شده است. مجموع منحنی‌های تغییر مکان روی یک نمودار نیز ارائه شده است.

دیگر اطلاعات ثبت شده مربوط به تغییر مکان سنج‌ها است که منحنی‌ها و ترکیب آنها در شکل ۱۷ نشان داده شده است.

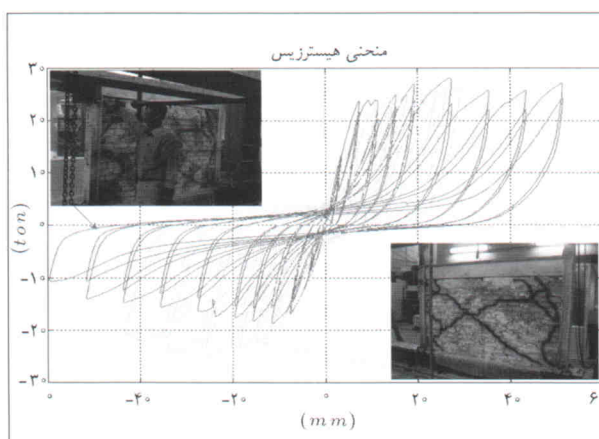
یکی از مهم‌ترین پارامترهای مورد مطالعه، منحنی‌های هیسترزیس است؛ لذا در جدول ۲ به بررسی خصوصیات هیسترزیس و مقایسه‌ی آنها می‌پردازیم. در این جدول اطلاعاتی از قبیل شبیه حلقه‌ها هنگام باربرداری و بارگذاری، مقدار بارگذاری فشاری و کششی و همچنین انرژی جذب شده توسط هر حلقة، و نیز حداکثر نیروی اعمالی و تغییر مکان در هر حلقة و در نهایت انرژی کل جذب شده ارائه شده است.

۳. نتیجه‌گیری

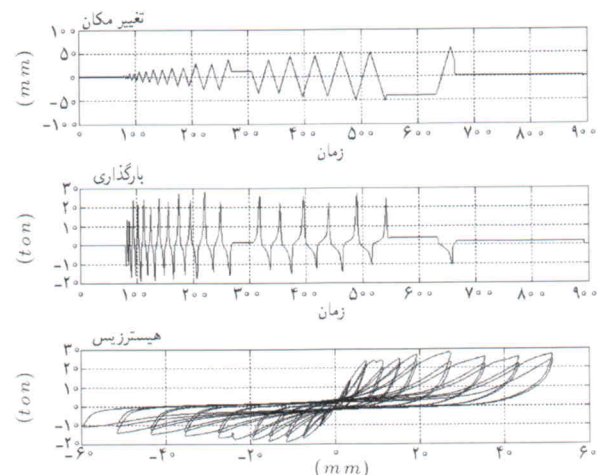
۳. مقایسه آزمایشات

پس از انجام آزمایشات و به دست آوردن خروجی هر آزمایش، نتایج حاصل از آنها مورد مقایسه قرار گرفت. مقایسه‌ی منحنی هیسترزیس دو آزمایش در شکل ۱۸ ملاحظه می‌شود.

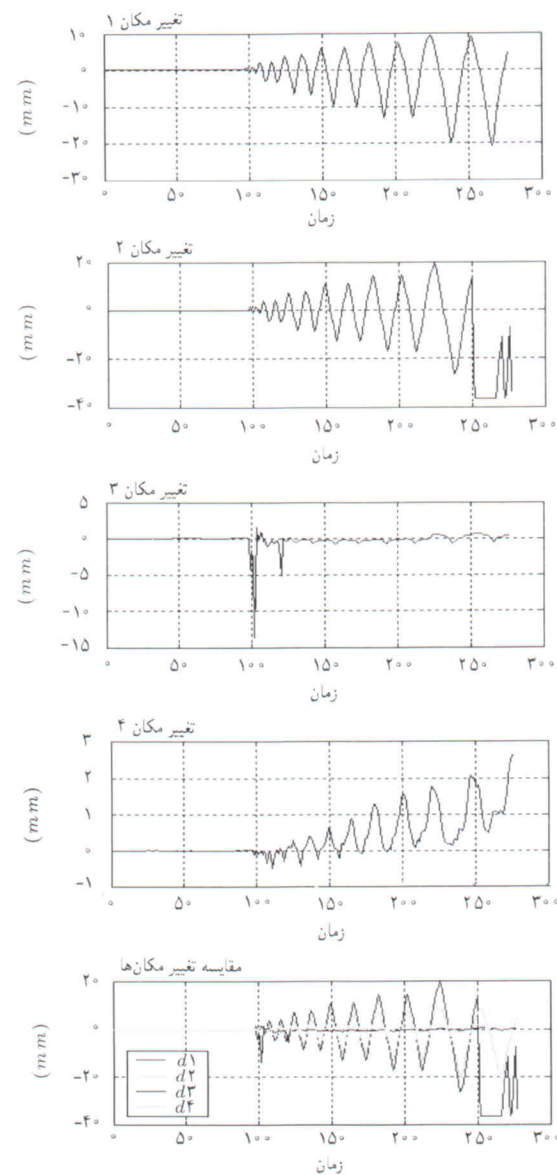
همچنین برای مقایسه‌ی عددی خصوصیات این دو آزمایش، پارامترهای مشترک آنها در حلقه‌ی ۱۲ به صورت درصدی از آزمایش قاب فولادی به همراه میان‌قاب مصالح بنایی در جدول ۳ درج شد.



شکل ۱۸. مقایسه‌ی منحنی هیسترزیس دو آزمایش: (الف) قاب فولادی به همراه میان‌قاب مصالح بنایی؛ (ب) قاب فولادی به همراه طرح بهسازی میان‌قاب صدمه دیده در الف.



شکل ۱۶. منحنی اطلاعات خروجی جک.



شکل ۱۷. منحنی‌های مربوط به تغییر مکان سنج‌ها.

جدول ۲. نتایج به دست آمده از اطلاعات خروجی جک.

آزمایش	حلقه	شیب بارگذاری درجه	شیب بارگذاری درجه	شیب باربرداری درجه	کل حلقه ژول (N/m ²)	جذب شده انرژی (N/m ²)	بارگذاری فشاری (تن)	بارگذاری فشاری (تن)	کششی فشاری (میلی متر)	تغییر مکان کششی (میلی متر)
آزمایش قاب	۱	۸۸,۸۶	۸۸,۱۳	۸۸,۱۴	۱۸۴۷	۱۳,۷	۱۰,۶	۲,۶	۳,۷	۳,۷
فولادی به همراه طرح	۲	۸۸,۹۱	۸۷,۴۷	۸۷,۸۷	۱۳۶۵	۱۳	۱۰	۲,۶	۳,۷	۷,۶
به همراه طرح	۳	۸۸,۴۷	۸۷,۳	۸۷,۵۸	۸۸۹۰	۲۳,۷	۱۶,۹	۷,۴	۷,۶	۱۱,۶
به سازی دیوار	۴	۸۸,۴۴	۸۶,۷	۸۷,۱	۶۲۷۰	۲۱,۷	۱۵,۷	۷,۴	۷,۶	۱۱,۵
مصالح بنایی	۵	۸۷,۴۵	۸۶,۲	۸۶,۲۷	۱۹۵۸۰	۲۳,۹	۱۸,۸	۱۱,۵	۱۱,۶	۱۵,۶
صدمه دیده در آزمایش قبل	۶	۸۶,۹۵	۸۴,۸۴	۸۴,۸۸	۱۲۲۶۰	۲۰,۴	۱۵,۷	۱۱,۵	۱۱,۶	۱۵,۶
آزمایش قاب	۷	۸۶,۵	۸۴,۴۲	۸۴,۳۲	۲۲۱۳۰	۲۴,۸	۱۸,۴	۱۵,۴	۱۵,۶	۱۹,۶
آزمایش قاب	۸	۸۵,۹۵	۸۲,۹۵	۸۳,۱۴	۱۷۷۵۰	۲۲,۷	۱۵,۷	۱۵,۴	۱۵,۶	۱۹,۴
آزمایش قاب	۹	۸۵,۶۵	۸۰,۹	۸۲,۷۲	۲۹۷۰۰	۲۷	۱۷,۷	۱۷,۴	۲۷,۶	۱۹,۶
آزمایش قاب	۱۰	۸۴,۷۹	۷۹,۳۴	۸۱,۰۴	۲۳۱۵۰	۲۳,۷	۱۵,۵	۱۹,۴	۱۹,۶	۲۷,۶
آزمایش قاب	۱۱	۸۳,۷۸	۷۴,۸۵	۷۹,۵۸	۵۲۳۰۰	۲۸	۱۷,۴	۲۷,۴	۲۷,۶	۲۷,۶
آزمایش قاب	۱۲	۸۱,۸۲	۷۶,۶	۷۵,۴۴	۳۴۷۰۰	۲۲,۳	۱۳,۹	۲۷,۴	۲۷,۶	۳۵,۶
آزمایش قاب	۱۳	۸۰,۸۴	۶۷,۸۷	۷۱,۷۶	۵۱۹۸۰	۲۵,۸	۱۵,۷	۲۵,۴	۳۵,۶	۴۲,۷
آزمایش قاب	۱۴	۷۸,۱۱	۶۷,۴۶	۶۸,۷۵	۴۲۴۰۰	۲۲,۲	۱۳	۳۵,۵	۳۵,۶	۴۳,۷
آزمایش قاب	۱۵	۷۸,۱۹	۶۰,۰۶	۶۸,۲۲	۶۶۰۰۰	۲۵,۷	۱۴,۸	۲۳,۴	۴۲,۷	۴۳,۷
آزمایش قاب	۱۶	۷۴,۶۴	۶۰,۱۷	۶۱,۹۴	۴۸۷۰۰	۲۲,۲	۱۲,۳	۲۳,۵	۴۳,۷	۵۱,۷
آزمایش قاب	۱۷	۷۶,۱۶	۵۰	۶۲,۶۷	۶۸۲۰۰	۲۷,۲	۱۴	۵۱,۵	۵۱,۷	۵۱,۷
آزمایش قاب	۱۸	۵۸,۷۴	-	۴۶,۱۴	۵۲۵۰۰	۲۴,۳	۱۰,۵	۵۱,۵	۵۱,۷	۵۹,۷
آزمایش قاب	۱۹	-	-	-	۲۸۷۰۰	-	۱۰,۶	-	۲,۶	-
آزمایش قاب	نهایی	-	-	-	۵۹۸۲۰۰	-	-	-	-	-

جدول ۳. مقایسه‌ی عددی نتایج حاصل از دو آزمایش انجام شده نسبت به یکدیگر (نسی).

۲.۳. تحلیل و نتایج آزمایشات

● بارگذاری فشاری در آزمایش قاب فولادی به همراه طرح به سازی میان قاب صدمه دیده در آزمایش قاب فولادی به همراه میان قاب مصالح بنایی افزایش نشان می‌دهد. اما در بارگذاری کششی به علت تغییر شکل اتصال ۱ در آزمایش قاب فولادی به همراه میان قاب صدمه دیده در آزمایش قاب فولادی به همراه میان قاب مصالح بنایی افزایش نشان می‌دهد. اما در آزمایش قاب فولادی به همراه طرح به سازی میان قاب صدمه دیده در آزمایش قاب فولادی به همراه میان قاب مصالح بنایی افزایش نشان می‌دهد.

● در آزمایش قاب فولادی به همراه طرح به سازی میان قاب صدمه دیده در آزمایش قاب فولادی به همراه طرح به سازی میان قاب صدمه دیده در آزمایش قاب فولادی به همراه میان قاب مصالح بنایی افزایش نشان می‌دهد. اما در آزمایش قاب فولادی به همراه طرح به سازی میان قاب صدمه دیده در آزمایش قاب فولادی به همراه میان قاب مصالح بنایی افزایش نشان می‌دهد.

پارامترها	قاب فولادی به همراه طرح به سازی میان قاب صدمه دیده در آزمایش قبلی	قاب فولادی به همراه طرح به سازی میان قاب مصالح بنایی
شیب بارگذاری	۱,۰۴۵	۱
شیب باربرداری	۰,۹۴	۱
شیب کل حلقة	۰,۹۲	۱
سرعت کاهش سختی در طول آزمایش	۱/۰۸	۱
انرژی جذب شده	۰,۹۸۳	۱
بارگذاری فشاری	۰,۹۰۳	۱
بارگذاری کششی	۰,۶۴	۱

● سرعت کاهش سختی در طول آزمایش قاب فولادی به همراه طرح

فولادی به همراه میان قاب مصالح بنایی مستهلك کرده است.

۳.۳. جمع بندی کلی استفاده از این روش به سازی در پایان می توان گفت طرح به سازی مورد استفاده بیش از ۹۰ درصد خصوصیات از دست رفته ای یک دیوار ترک خورده را بازگردانده است در حالی که در اجرای این طرح از مصالح معمولی و امکانات ابتدایی و با کمترین ضخامت و حداقل مصالح و در نهایت به صورت یک طرفه روی دیوار صدمه دیده اجرا شده است. با استفاده از تجربیات به دست آمده از این آزمایش می توان طرح به سازی فوق را در سطح کاربردی مورد استفاده قرار داد.

به سازی میان قاب صدمه دیده در آزمایش قبلی، نسبت به آزمایش ابتدایی قاب فولادی به همراه میان قاب مصالح بنایی حدود ۸ درصد سریع تر بوده است به عبارتی دیگر سرعت زوال دیوار به سازی شده افزایش نشان می دهد.

- میزان جذب انرژی از مهم ترین پارامترهای هر آزمایش است که برابر است با سطح زیر منحنی هیسترزیس. همان طور که ملاحظه می شود آزمایش قاب فولادی به همراه طرح به سازی میان قاب صدمه دیده در آزمایش قبلی، انرژی کمتری نسبت به آزمایش ابتدایی قاب

منابع

۱. مرکز تحقیقات مسکن و شهرسازی. «استاندارد طرح ساختمان ها در برابر زلزله موسوم به استاندارد ۲۸۰۰»، نشریه شماره ۸۲، بهمن ۱۳۶۶.
2. Ministry of Urban Development and Housing (MUDH), Government of Afghanistan & United Nations Center for Regional Development (UN-CRD), Disaster Management Planning Hyogo Office, “Guidelines for Earthquake Resistant Design, Construction, and Retrofitting of Building in AFGHANISTAN”, (June 2003).
3. El-Dakhakhni, Wael W; Hamid, Ahmad A; El-gaaly, Mohamed. “Seismic Retrofit Of Masonry Infill Walls Using Advanced Composites”, 13 WCEE: 13th World Conference on Earthquake Engineering Conference Proceedings (2004).
4. Moghaddam, H.A. “Lateral load behavior of masonry infilled steel frames with repair and retrofit”, *Journal of Structural Engineering* (New York, N.Y.), **130**(1), pp. 56-63 (Jan 2004).
5. Mercer, J. C. Cross, W. B. “Simple, Low-Cost Retrofit Procedures for Historic Unreinforced Masonry Buildings”, *Structural Engineering World Wide* 1998 [computer file]; pp. Paper T126-5 (1998).
6. Yao, C. “Aseismic problem on retrofit of brick masonry building beside street”, *Earthquake Resistant Engineering*, No. 2, pp. 40-42 (1994).

